

## ФАЗОВАЯ ДИАГРАММА ДВУМЕРНОЙ АНТИФЕРРОМАГНИТНОЙ ХУ-МОДЕЛИ ВО ВНЕШНЕМ МАГНИТНОМ ПОЛЕ

*Вик. С. Доценко, Г. В. Уймин*

Показано, что фазовая диаграмма двумерных ( $2D$ ) планарных антиферромагнетиков ( $AF\ XY$ -модель) во внешнем магнитном поле содержит наряду с линиями переходов Березинского – Костерлицца – Таулеса (БКТ), также линии переходов изинговского (И) типа, связанных с существованием дискретной симметрии.

Рассматриваемая здесь система – *AF*-магнетики на квадратной (*s*-) или на правильной треугольной (*t*-) решетке – описываются гамильтонианом

$$\mathcal{H} = J \sum_{\langle r, r' \rangle} \mathbf{m}_r \cdot \mathbf{m}_{r'} - h \sum_r \mathbf{m}_r. \quad (1)$$

Двухкомпонентный магнитный момент  $\mathbf{m}_r$  ( $m_r^x, m_r^y$ ), расположенный в узле  $r$ , имеет единичную длину, взаимодействует только с ближайшими соседями и с магнитным полем  $h$ , также двухкомпонентным.

Главное различие моделей "*AF XY + поле*" на *s*- и *t*-решетках состоит в том, что основное состояние (ОС) первой двукратно вырождено, а для второй непрерывное вырождение, сохраняется, как и в отсутствие поля. Причина заключается в том, что на *t*-решетке системе выгодно образовать три магнитные подрешетки вместо двух, как в *AF*-магнетике на *s*-решетке. Мы сначала проанализируем случай *t*-решетки, а в конце статьи вернемся к *s*-решетке.

Вычисляя энергию трехподрешеточной конфигурации, отнесенную к одному узлу решетки

$$E^{(0)} = -3J/2 + J(m_1 + m_2 + m_3)^2/2 - h(m_1 + m_2 + m_3)/3 \quad (2)$$

и минимизируя ее, получим  $E^{(0)} = -3J/2 - h^2/18J$  причем

$$m_1 + m_2 + m_3 = h/3J. \quad (3)$$

Направление  $\mathbf{m}_j$  задается углом  $\phi_j$  ( $j = 1, 2, 3$ ), который удобно отсчитывать от направления поля. В этих переменных уравнение (3) представляет собой систему двух уравнений с тремя неизвестными, что оставляет непрерывную степень свободы для ОС. На рис. 1 показаны линии в 3-мерном пространстве  $(\phi_1, \phi_2, \phi_3)$ , являющиеся решениями уравнения (3). В малых полях  $0 < h < h_{c1} = 3J$  пространство вырождения ОС состоит из двух линий, на одной ( $B_1B_2B_3$ ) циркуляция в тройке векторов  $\mathbf{m}_1, \mathbf{m}_2, \mathbf{m}_3$  равна  $2\pi$ , на другой ( $A_1A_2A_3$ ) циркуляция равна  $-2\pi$ . При  $h = h_{c1}$  две линии вырождаются в одну – самопресекающуюся (см. рис. 1, б). При  $h_{c1} < h < h_{c2} = 9J$  линия становится замкнутой, а в окрестности значений  $\phi = \pm \pi$  появляется запрещенная область для ОС. С увеличением поля окрестность расширяется и занимает все  $\phi$  – пространство при  $h = h_{c2}$ .

Построение фазовой диаграммы начнем с области, соответствующей рис. 1, а. Наряду с непрерывным вырождением, ведущим при  $T \neq 0$  к образованию фазы Березинского (так называемой фазы со степенным порядком), в системе существует дискретная изинговская симметрия. Изинговская переменная связана с локальным положением системы на линии  $A_1A_2A_3$  либо на  $B_1B_2B_3$ . Элементы этой симметрии при низких температурах упорядочены. Это никак не противоречит отсутствию дальнего порядка для спиновой переменной, поскольку дискретная симметрия определяется локальным расположением моментов.

Сообразно двум типам симметрий существенными являются и два типа топологических возбуждений. К первому относятся обычные вихри, связывающиеся при низких температурах в нейтральные молекулы, которые диссоциируют при температуре БКТ-перехода  $T_{BKT}$ . Второй тип возбуждений – стенки. Они разделяют два вакуумных состояния, соответствующих линиям  $A_1A_2A_3$  и  $B_1B_2B_3$ . При переходе к изинговской температуре разупорядочения  $T_H$  пропадает энергетический барьер между точками  $A_1$  и  $B_1$ ,  $A_2$  и  $B_2$ ,  $A_3$  и  $B_3$  рис. 1, а. При  $h = 0$  барьер исчезает не только в этих точках, но из любой точки на прямой  $A_1A_2A_3$  можно непосредственно безбарьерно попасть на прямую  $B_1B_2B_3$ . Численные оценки, проведенные в <sup>1</sup>, показали, что при  $h = 0$   $T_H$  должна быть меньше, чем  $T_{BKT}$ . Там же был сделан вывод об инициировании *H*-переходом перехода БКТ в точке  $T_H$ , что должно привести к

фазовому переходу с новым классом универсальности. Однако, при приближении к  $T_H$  снизу происходит уменьшение спиновой жесткости  $\rho_s$ , которая непосредственно определяет  $T_{БКТ}$  (при  $T = T_H$  и  $h = 0$   $\rho_s$  обращается в нуль тождественно). По этой причине фазовый переход БКТ должен произойти раньше изинговского, по крайней мере, при  $h = 0$ , что было подтверждено численным расчетом работы<sup>2</sup>.

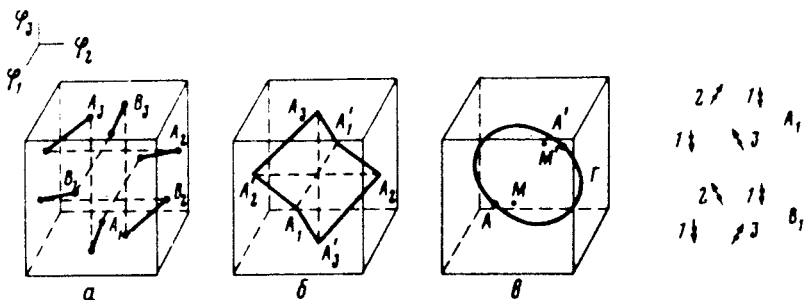


Рис. 1. Линии вырождения ОС на  $t$ -решетке. Область изменения  $\phi(-\pi, \pi)$ . Пунктиром соединены эквивалентные точки. Справа показан фрагмент решетки, соответствующий точкам  $A_1$  и  $B_1$ .

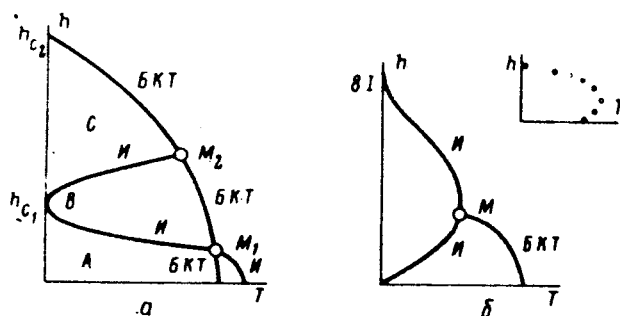


Рис. 2. Качественный вид фазовой диаграммы: *a* – для  $t$ -, *б* – для  $s$ -решетки.  $M, M_1, M_2$  – мультикритические точки.  $A, B, C$  – фазы Березинского с топологией возбуждений, соответствующих рис. 1., *a*, *в*

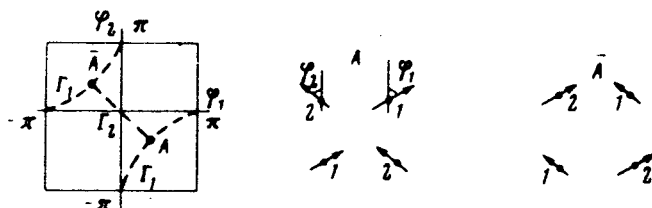


Рис. 3.  $A$  и  $\bar{A}$  – точки вырождения ОС на  $s$ -решетке. Справа – соответствующие им фрагменты решетки

Заметим, что при рассмотренном *И*-переходе картинка с рис. 1, *а* "превращается" в рис. 1, *б*. При  $h = 0$  этой трансформации соответствует  $T_H \sim J$  – такова энергия  $\epsilon$  стенки на единицу ее длины. Однако, при  $h \rightarrow h_{c1}$  точки  $A_1$  и  $B_1$  сближаются – энергия стенки становится малой ( $\epsilon \sim (h_{c1} - h)^{3/2}/J^{1/2}$ ), а ее толщина  $l$  – большой ( $l \sim J^{1/2}/(h_{c1} - h)^{1/2}$ ). Поэтому

$$T_H(h) \sim \epsilon / \ln l \rightarrow 0 \quad \text{при } h \rightarrow h_{c1}. \quad (4)$$

Линия *И*-переходов разделяет области, вихревые возбуждения в которых определяются топологией рис. 1, *а* и рис. 1, *б*. Так, в случае *а* вихрю соответствует обход  $A_1 A_2 A_3 A_1$  или  $B_1 B_2 B_3 B_1$  с суммарной циркуляцией момента  $\pm 6\pi$  во всех трех подрешетках. В случае *б* кроме уже перечисленных имеется также обход  $A_1 A'_2 (A_2) A'_1 (A_1)$ , который соответствует вихрю с фиксированым  $\phi_3 = 0$  и  $\phi_1 = \phi_2 = \pi$  и с полной циркуляцией  $\pm 4\pi$ . Эквивалентные рассмотренному вихри получаются заменой подрешеток. Следовательно, выше линии *И*-переходов БКТ-переход осуществляется в результате конкуренции нескольких типов вих-

рей. Здесь нет противоречия – строгое заключение о предшествовании БКТ-перехода изинговскому справедливо при  $h = 0$ . Как только  $h \neq 0$ ,  $\rho_s$  на линии И-переходов не обращается в нуль тождественно. Поэтому должна существовать мультикритическая точка  $M_1$  (см. рис. 2, а), в которую сходятся линии И- и БКТ-переходов, причем тип БКТ-перехода меняется при переходе через эту точку.

Теперь перейдем к рассмотрению окрестности  $h = h_{c_2}$ . Топология в этом случае может быть понята из рис. 1, в. Пространство вырождения – замкнутый контур  $\Gamma$ , который обеспечивает существование неустранимой топологической особенности типа вихря (хотя и с нулевой циркуляцией!). Температура БКТ-перехода обращается в нуль при  $h \rightarrow h_{c_2}$  по закону

$$T_{БКТ} \sim h_{c_2} - h.$$

При уменьшении поля от  $h_{c_2}$  к  $h_{c_1}$  контур  $\Gamma$  приближается к границе куба, а его траектория становится близкой к изображенной на рис. 1, б. Между двумя состояниями  $A$  и  $A'$  (рис. 1, в), которые в пределе  $h \rightarrow h_{c_1}$  переходят в  $A_1$  и  $A'_1$  (рис. 1, б) можно безбарьерно пройти вдоль контура  $\Gamma$ . Существует температура, при которой прямой переход  $A \Rightarrow A'$  через точку  $M$  ( $\phi_1 = \pi$ ,  $\phi_2 = \phi_3 = 0$ ) также оказывается безбарьерным. При этом контур  $\Gamma$  становится эквивалентным контуру рис. 1, б. Сам переход имеет характер изинговского, а температура его дается выражением, аналогичным (4).

Соображения, приведенные выше, суммирует фазовая диаграмма рис. 2, а.

В конце статьи обсудим ту же проблему, но на  $s$ -решетке. В отличие от рассмотренного выше случая число подрешеток равно двум, а пространство вырождения ОС – две точки на плоскости ( $\phi_1$ ,  $\phi_2$ ) (рис. 3). Главными возбуждениями изинговского типа являются стенки, выше определенной температуры снимающие барьер между состояниями  $A$  и  $\bar{A}$  (рис. 3). В слабых полях барьер снимается вдоль контура  $\Gamma_1$ , в сильных – вдоль  $\Gamma_2$ . В первом случае в образовавшейся изотропной фазе вихревые возбуждения возможны, во втором – запрещены. Фазовая диаграмма представлена на рис. 2, б. В его верхней части показан результат численного расчета<sup>1</sup>, который, видимо, воспроизводит лишь линию И-переходов. Согласно нашим представлениям линия должна приходить в начало координат. Обнаружить это при численном моделировании сложно, так как стенки в этой области становятся широкими ( $l \sim J/h$ ) и могут достигать размеров системы.

Рассмотренные здесь теоретически магнитные системы не должны быть уникальными, и мы надеемся, что скоро наши представления, выраженные в рис. 2, найдут экспериментальное подтверждение.

### Литература

- Lee D.H., Joannopoulos J.D., Negele J.W., Landau D.P. Phys. Rev. Lett., 1984, 52, 433.
- Miyashita S., Shiba H. J. Phys. Soc. of Japan, 1984, 53, 1145.